Generated by Unregistered Batch DOC TO PDF Converter 2009.1.624.1298, please register!

3.6 EXPLORACIÓN RADIOLÓGICA Y PRUEBA DE LABORATORIO.

FORMA DE REPRESENTACIÓN RADIOLÓGICA.

Observando la tabla 3.28 y el Gráfico 3.30 es notable que la mayoría de los pacientes tuvo un tipo de lesión intersticial con un 67,3 % mientras que un 3.6% de los pacientes tuvo una imagen radiológica normal representando así a la minoría.

TABLA 3.28
Distribución de frecuencias de "Forma de Representación Radiológica"

FORMA DE REPRESENTACION RADIOLOGICA	FRECUENCIA ABSOLUTA	FRECUENCIA RELATIVA
Ninguna	4	0,036
Intersticial	74	0,673
Condensación	9	0,082
Cavitaria	5	0,045
Intersticial y Cavitaria	9	0,082
Intersticial y Condensación	9	0,082
Total	110	1,000

Fuente: Hospital de División Regional de la Segunda Zona Militar de Guayaquil- Ecuador
Elaborado por: María Luisa Conforme Yagual

Generated by Unregistered Batch DOC TO PDF Converter 2009.1.624.1298, please register!

GRÁFICO 3.30
Representación en barras de "Representación Radiológica"

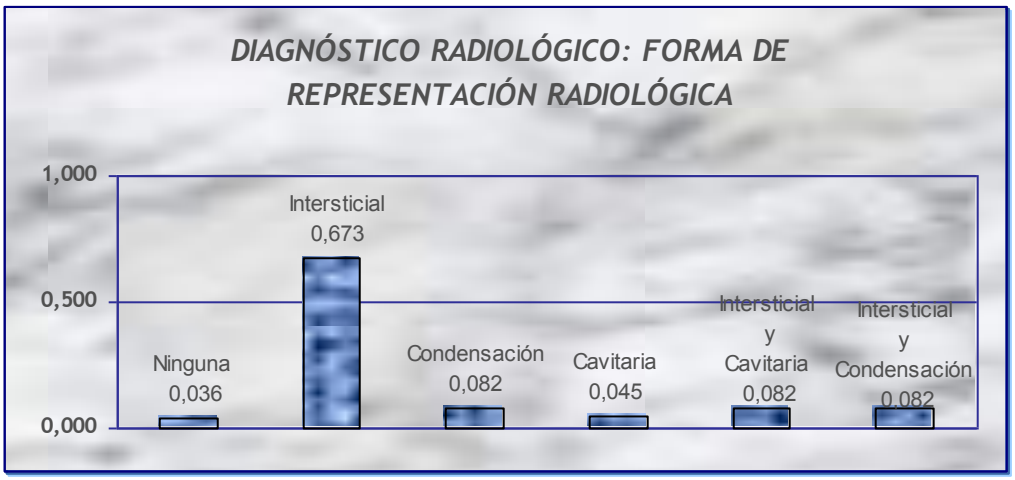

EXTENSIÓN RADIOLÓGICA.

Observando la tabla 3.29 y el Gráfico 3.31 es notable que la mayoría de los pacientes tuvo una lesión con una extensión radiológica del tipo unilateral representada por un 64,5 % mientras que los pacientes sin lesiones representaron a la minoría con un 3,6%.

TABLA 3.29
Distribución de frecuencias de "Extensión"

EXTENSIÓN	FRECUENCIA ABSOLUTA	FRECUENCIA RELATIVA
NINGUNA	4	0,036
UNILATERAL	71	0,645
BILATERAL	35	0,318
TOTAL	110	1,000

Fuente: Hospital de División Regional de la Segunda Zona Militar de Guayaquil- Ecuador
Elaborado por: María Luisa Conforme Yagual

Generated by Unregistered Batch DOC TO PDF Converter 2009.1.624.1298, please register!

GRÁFICO 3.31
Representación en barras de "Extensión Radiológica"

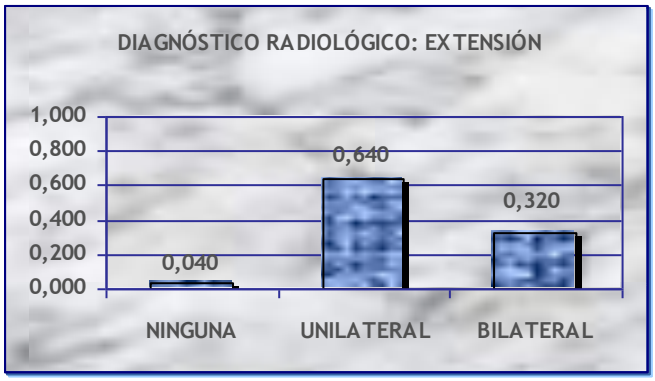

BDK

Observando la tabla 3.30 y el Gráfico 3.32 es notable que el 71% tuvo un resultado positivo con una cruz mientras que tan solo el 10% tuvo un resultado positivo a tres cruces.

TABLA 3.30
Distribución de frecuencias de "BDK"

BDK	FRECUENCIA ABSOLUTA	FRECUENCIA RELATIVA
Positiva a +	78	0,709
Positiva a ++	21	0,191
Positiva a +++	11	0,100
TOTAL	110	1,000

Fuente: Hospital de División Regional de la Segunda Zona Militar de Guayaquil- Ecuador
Elaborado por: María Luisa Conforme Yagual

Generated by Unregistered Batch DOC TO PDF Converter 2009.1.624.1298, please register!

GRÁFICO 3.32
Representación en barras de "BDK"

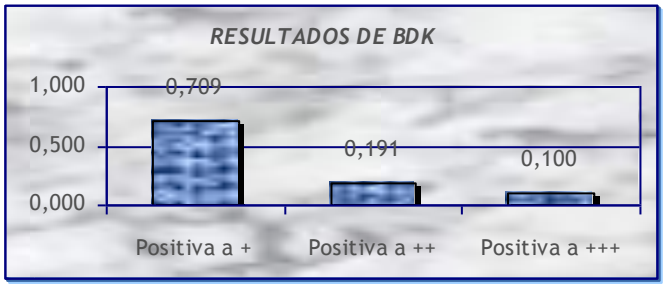

3.7 HOSPITALIZACIÓN PARA MANEJO TUBERCULOSO.

La información mostrada en la tabla 3.31 y en el Gráfico 3.33 indica que un 52 % de los pacientes fue hospitalizado para manejo tuberculoso.

TABLA 3.31
Distribución de frecuencias de "BDK"

HOSPITALIZADO	FRECUENCIA ABSOLUTA	FRECUENCIA RELATIVA
SI	57	0,52
NO	53	0,48
TOTAL	110	1,000

Fuente: Hospital de División Regional de la Segunda Zona Militar de Guayaquil- Ecuador
Elaborado por: María Luisa Conforme Yagual

GRÁFICO 3.33
Representación en barra de "Hospitalizados para manejo de tuberculoso"

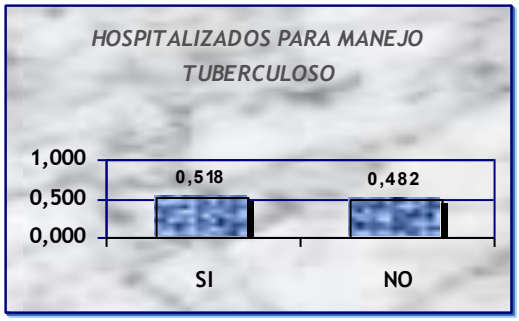

Generated by Unregistered Batch DOC TO PDF Converter 2009.1.624.1298, please register!

3.8 INTERVALOS DEL PROCESO DE DIAGNÓSTICO TOTAL.

En el capítulo anterior se definió los intervalos de tiempo que se estudiaron, a continuación se detalla la estadística descriptiva de los mismos.

INTERVALO APLICABLE AL PACIENTE (DÍAS).

La información presentada en la tabla 3.32 indica que el tiempo promedio en este intervalo es 82.28 días. El 31,81% de los pacientes presentaron un intervalo mayor o igual al tiempo promedio.

TABLA 3.32
Estadística Descriptiva de "Intervalo Aplicable al Paciente"

MEDIA		82,28
MEDIANA		38,5
DESVIACIÓN ESTANDAR		92,78
VARIANZA		8609,12
ASIMETRIA		1,859
CURTOSIS		2,917
VALOR MINIMO		1
VALOR MAXIMO		366
RANGO		78
CUARTILES	1	24,5
	2	38,5
	3	92

Fuente: Hospital de División Regional de la Segunda Zona Militar de Guayaquil- Ecuador
Elaborado por: María Luisa Conforme Yagual

Generated by Unregistered Batch DOC TO PDF Converter 2009.1.624.1298, please register!

En el gráfico 3.34 se observa que la distribución es sesgada a la derecha, es decir se presentan con menos frecuencia valores después de la media, además la distribución es leptocúrtica, y esto se debe a que el coeficiente de curtosis es 2,917.

GRÁFICO 3.34
Histograma de
"Intervalo Aplicable al paciente"

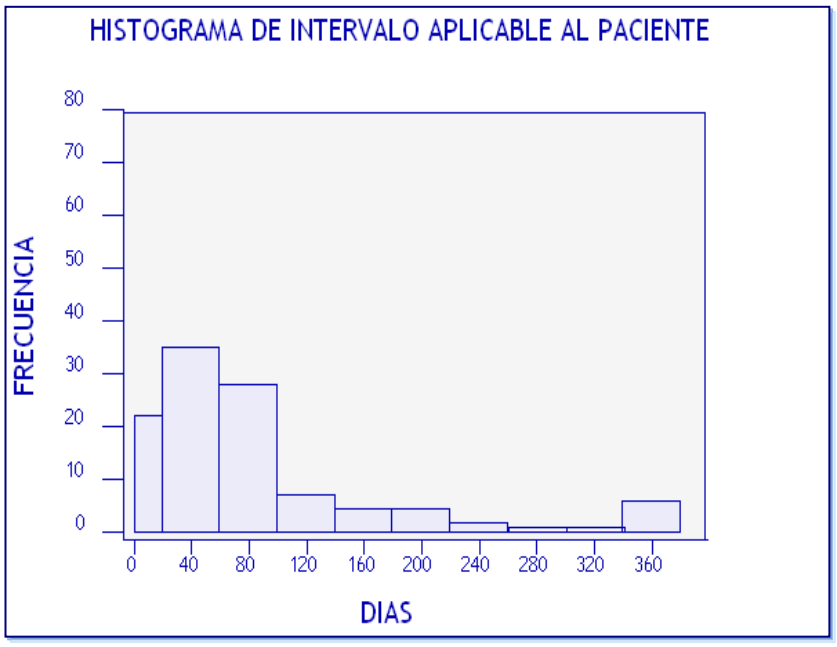

En el Gráfico 3.35, diagrama de caja de la variable intervalo aplicable al paciente, es notable que el 25% de los pacientes presentaron tiempos menores o iguales a 24,5 días y otro 25% tiempos mayores o iguales a 92 días. Además se observa que el lapso mínimo es de 1 día y el máximo es 366 días.

Generated by Unregistered Batch DOC TO PDF Converter 2009.1.624.1298, please register!

GRÁFICO 3.35
Diagrama de Caja de "Intervalo Aplicable al paciente"

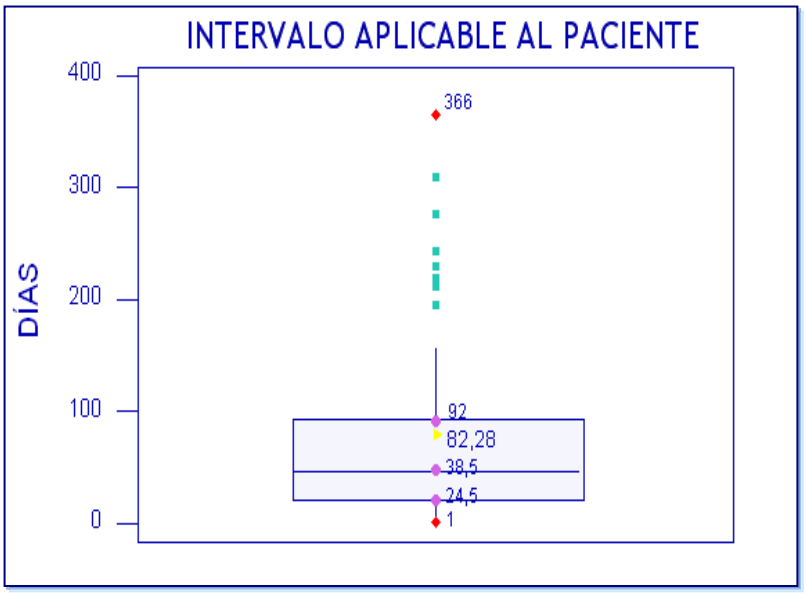

El Cuadro 3.2 muestra el valor 0.227 para el estadístico de prueba y 0.000 para el valor p, entonces se rechaza la hipótesis nula, es decir la variable intervalo aplicable al paciente no se comporta como una variable aleatoria normal con media 82,28 días y varianza 8609,12.

CUADRO 3.2
Bondad de Ajuste (K-S): Intervalo Aplicable al Pacientes

H_0: EL intervalo Aplicable al Paciente puede ser modelada como una N(82.28,)
Vs.
H_1: No es verdad H_0

$$\sup_x \left| \hat{F}(x) - F_0(x) \right| = 0.227$$

Valor p = 0.000

Generated by Unregistered Batch DOC TO PDF Converter 2009.1.624.1298, please register!

Fuente: Hospital de División Regional de la Segunda Zona Militar de Guayaquil- Ecuador
Elaborado por: María Luisa Conforme Yagual

INTERVALO REFERENCIAL (DÍAS).

En tabla 3.33 se observa que el tiempo promedio en este intervalo es 2,15 días. El 9.09% de los pacientes presentaron un intervalo mayor al tiempo promedio

Tabla 3.33
Estadística Descriptiva de "Intervalo Referencial"

MEDIA		2,15
MEDIANA		0
DESVIACIÓN ESTANDAR		7,13
VARIANZA		50,88
ASIMETRIA		3,57
CURTOSIS		11,98
VALOR MINIMO		0
VALOR MAXIMO		36
RANGO		36
CUARTILES	1	0
	2	0
	3	0

Fuente: Hospital de División Regional de la Segunda Zona Militar de Guayaquil- Ecuador
Elaborado por: María Luisa Conforme Yagual

En el gráfico 3.36 se observa que la distribución es sesgada a la derecha, es decir se presentan con menos frecuencia valores después de la media, además la distribución es leptocúrtica, es decir

Generated by Unregistered Batch DOC TO PDF Converter 2009.1.624.1298, please register!

que hay un alto grado de concentración alrededor de la media y esto se debe a que el coeficiente de curtosis es 11,98.

Gráfico 3.36
Histograma de
"Intervalo Referencial"

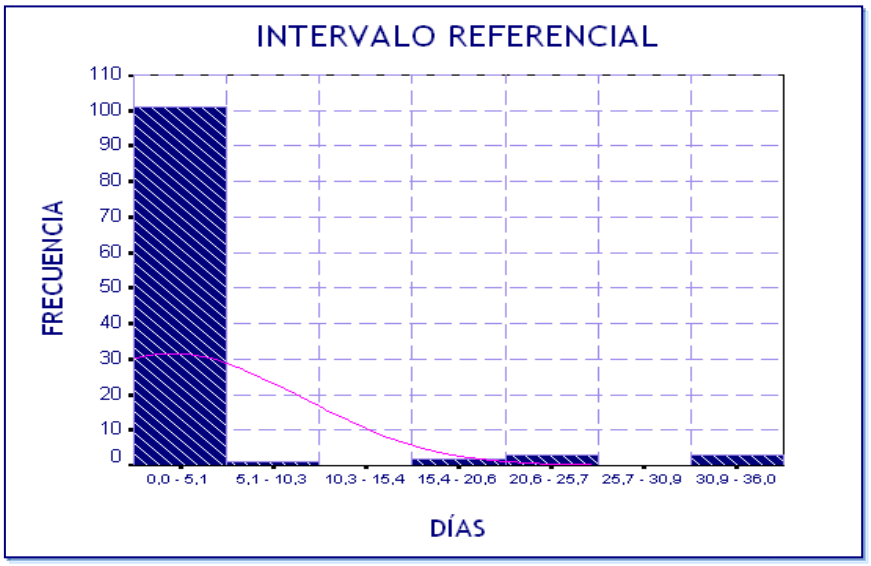

En el Gráfico 3.37, diagrama de caja de la variable intervalo referencial, es notable que el 25% de los pacientes presentaron tiempos mayores o iguales a 0 días. También se observa que el lapso mínimo fue de 0 días y el máximo es 36 días

Gráfico 3.37
Diagrama de Caja de
"Intervalo Referencial"

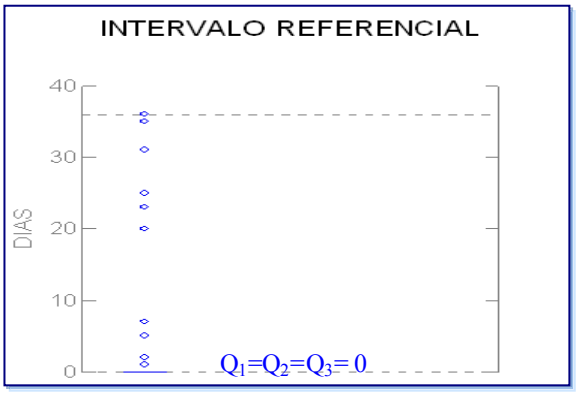

Generated by Unregistered Batch DOC TO PDF Converter 2009.1.624.1298, please register!

El Cuadro 3.3 muestra el valor 0.446 para el estadístico de prueba y 0.000 para el valor p, entonces se rechaza la hipótesis nula, es decir la variable intervalo referencial no se comporta como una variable aleatoria normal con media 2,15 días y varianza 50,88.

CUADRO 3.3
Bondad de Ajuste (K-S): Intervalo Referencial

H_0: El intervalo Referencial puede ser modelada como una N(2.15,50.88)
Vs.
H_1: No es verdad H_0

$$\sup_x \left| \hat{F}(x) - F_0(x) \right| = 0.446$$

Valor p = 0.000

Fuente: Hospital de División Regional de la Segunda Zona Militar de Guayaquil- Ecuador
Elaborado por: María Luisa Conforme Yagual

INTERVALO DIAGNÓSTICO (DÍAS).

La tabla 3.34 se aprecia que el tiempo promedio en este intervalo es 2,92 días. El 39,09% de los pacientes presentaron un intervalo mayor al tiempo promedio.

Generated by Unregistered Batch DOC TO PDF Converter 2009.1.624.1298, please register!

Tabla 3.34
Estadística Descriptiva de "Intervalo Diagnóstico"

MEDIA		2,92
MEDIANA		1
DESVIACIÓN ESTANDAR		4,30
VARIANZA		18,52
ASIMETRIA		3,63
CURTOSIS		15,36
VALOR MINIMO		0
VALOR MAXIMO		28
RANGO		28
CUARTILES	1	1
	2	1
	3	3

Fuente: Hospital de División Regional de la Segunda Zona Militar de Guayaquil- Ecuador
Elaborado por: María Luisa Conforme Yagual

En el gráfico 3.38 se observa que la distribución es sesgada a la derecha. Además se presenta un alto grado de concentración alrededor de la media y esto se debe a que el coeficiente de curtosis es 15,36 lo que indica que la distribución es leptocúrtica.

Gráfico 3.38
Histograma de "Intervalo Diagnóstico"

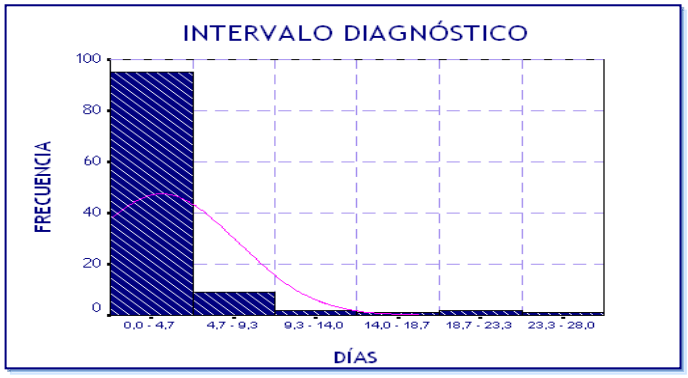

Generated by Unregistered Batch DOC TO PDF Converter 2009.1.624.1298, please register!

En el Gráfico 3.39, diagrama de caja de la variable intervalo diagnóstico, es notable que el 25% de los pacientes presentaron tiempos mayores o iguales a 3 días. Se aprecia que el periodo mínimo fue de 0 días y el máximo es 28 días.

Gráfico 3.39
Diagrama de Caja de "Intervalo Diagnóstico"

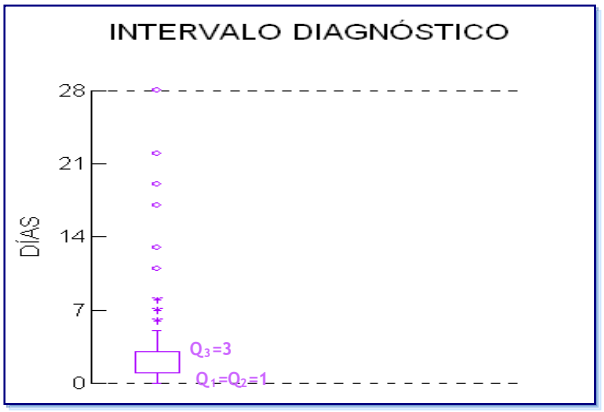

El Cuadro 3.4 muestra el valor 0.264 para el estadístico de prueba y 0.000 para el valor p, entonces se rechaza la hipótesis nula, es decir la variable intervalo diagnóstico no se comporta como una variable aleatoria normal con media 2,92 días y varianza 18,52.

CUADRO 3.4
Bondad de Ajuste (K-S): Intervalo Referencial

H_0: El intervalo Referencial puede ser modelada como una N(2.92,18.52)
Vs.
H_1: No es verdad H_0

$$\sup_x \left| \hat{F}(x) - F_0(x) \right| = 0.264$$

Valor p = 0.000

Fuente: Hospital de División Regional de la Segunda Zona Militar de Guayaquil- Ecuador
Elaborado por: María Luisa Conforme Yagual

Generated by Unregistered Batch DOC TO PDF Converter 2009.1.624.1298, please register!

INTERVALO TRATAMIENTO (DÍAS).

En la tabla 3.35 se aprecia que el tiempo promedio en este intervalo es 5,13 días. El 27,27% de los pacientes presentaron un intervalo mayor al tiempo promedio.

Tabla 3.35
Estadística Descriptiva de
"Intervalo Tratamiento"

MEDIA		5,13
MEDIANA		3
DESVIACIÓN ESTANDAR		7,76
VARIANZA		60,32
ASIMETRIA		4,61
CURTOSIS		26,27
VALOR MINIMO		0
VALOR MAXIMO		60
RANGO		60
CUARTILES	1	1
	2	3
	3	6

Fuente: Hospital de División Regional de la Segunda Zona Militar de Guayaquil- Ecuador
Elaborado por: María Luisa Conforme Yagual

Generated by Unregistered Batch DOC TO PDF Converter 2009.1.624.1298, please register!

El gráfico 3.40 se observa que el intervalo tratamiento presenta con menos frecuencia valores después de la media, además la distribución es leptocúrtica, lo que significa que hay un alto grado de concentración alrededor de la media.

Gráfico 3.40
Histograma de
"Intervalo Tratamiento"

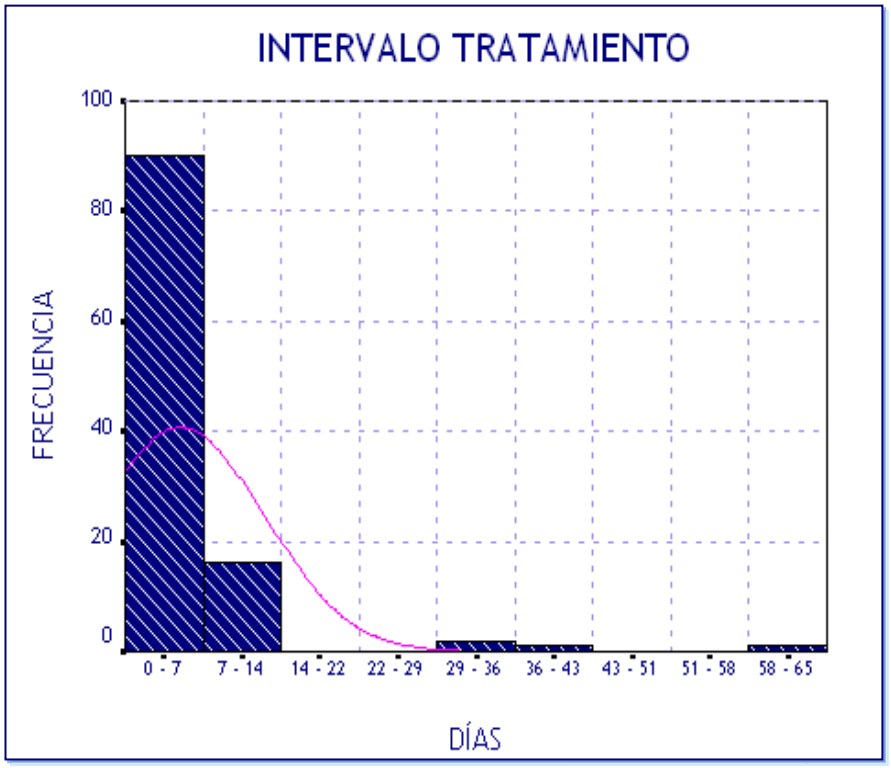

En el Gráfico 3.41 se aprecia que el 25% de los pacientes presentaron tiempos menores o iguales a 1 día y el 75% tuvo

Generated by Unregistered Batch DOC TO PDF Converter 2009.1.624.1298, please register!

intervalos tratamientos mayores o iguales a 6 días. El tiempo mínimo en este intervalo fue de 0 y el máximo de 60 días.

GRÁFICO 3.41
Diagrama de Caja
"Intervalo Tratamiento"

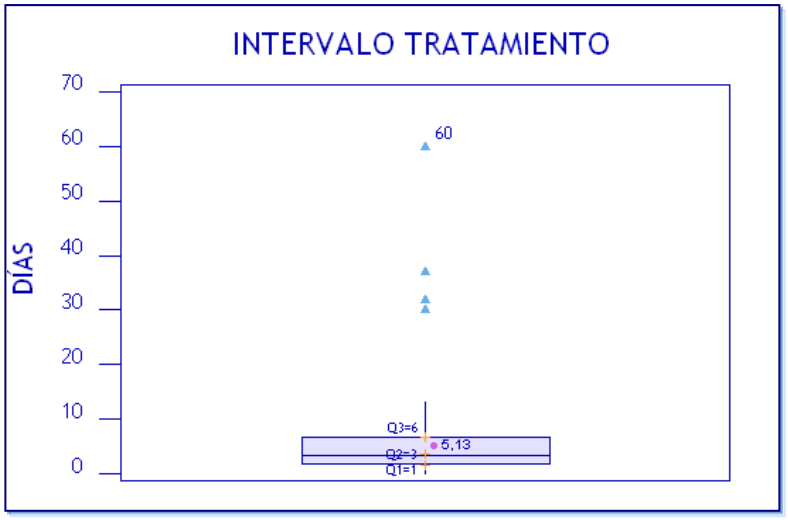

El Cuadro 3.5 muestra el valor 0.245 para el estadístico de prueba y 0.000 para el valor p, entonces se rechaza la hipótesis nula, es decir la variable intervalo tratamiento no se comporta como una variable aleatoria normal con media 5,13 días y varianza 60,32.

CUADRO 3.5
Bondad de Ajuste (K-S): Intervalo Tratamiento.

H_0: El intervalo Tratamiento puede ser modelada como una N(5.13,60.32)
Vs.
H_1: No es verdad H_0

$$\sup_x \left| \hat{F}(x) - F_0(x) \right| = 0.245$$

Valor p = 0.000

Fuente: Hospital de División Regional de la Segunda Zona Militar de Guayaquil- Ecuador
Elaborado por: María Luisa Conforme Yagual

Generated by Unregistered Batch DOC TO PDF Converter 2009.1.624.1298, please register!

INTERVALO CLÍNICA.

En la tabla 3.36 se observa que el tiempo promedio en este intervalo es 8,05 días. El 30% de los pacientes presentaron un intervalo mayor al tiempo promedio.

Tabla 3.36
Estadística Descriptiva de "Intervalo Clínica"

MEDIA		8,05
MEDIANA		6
DESVIACIÓN ESTANDAR		8,81
VARIANZA		77,54
ASIMETRIA		3,33
CURTOSIS		14,02
VALOR MINIMO		0
VALOR MAXIMO		61
RANGO		61
CUARTILES	1	3
	2	6
	3	9

Fuente: Hospital de División Regional de la Segunda Zona Militar de Guayaquil- Ecuador
Elaborado por: María Luisa Conforme Yagual

Generated by Unregistered Batch DOC TO PDF Converter 2009.1.624.1298, please register!

En el gráfico 3.42 se observa que intervalo tratamiento presenta con menos frecuencia valores después de la media, además la distribución es leptocúrtica, es decir que hay un alto grado de concentración alrededor de la media.

GRÁFICO 3.42
Histograma de "Intervalo Clínica"

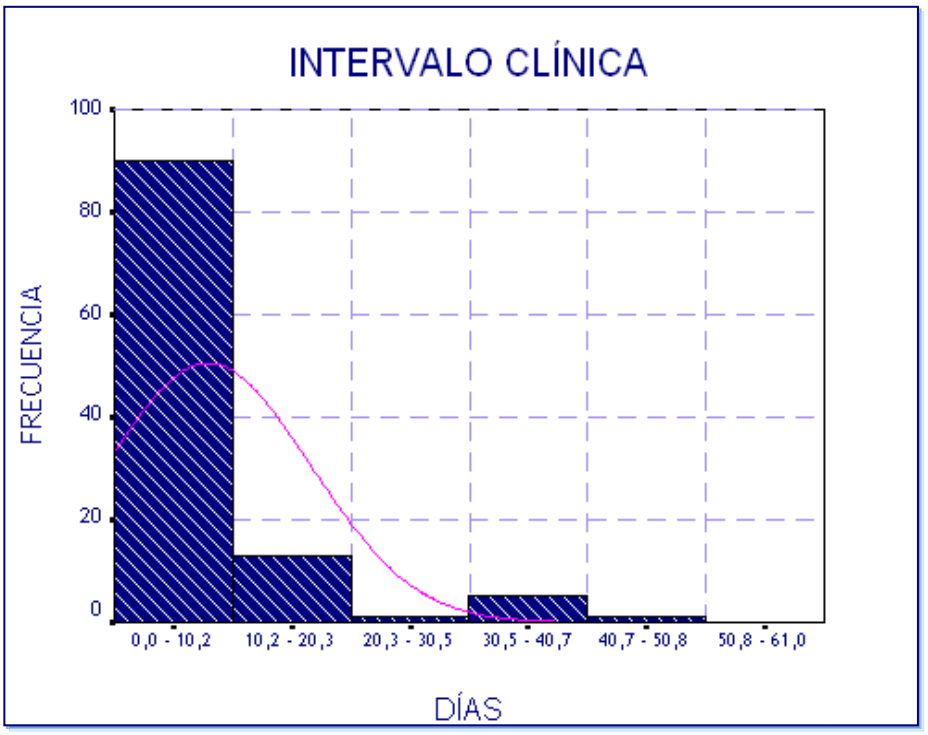

En el Gráfico 3.43 se aprecia que el 25% de los pacientes presentaron tiempos menores o iguales a 3 días y el 75% presentaron tiempos mayores o iguales a 9 días. El tiempo mínimo en este intervalo fue de 0 y el máximo de 61 días.

Generated by Unregistered Batch DOC TO PDF Converter 2009.1.624.1298, please register!

GRÁFICO 3.43
Diagrama de Caja de "Intervalo Clínica"

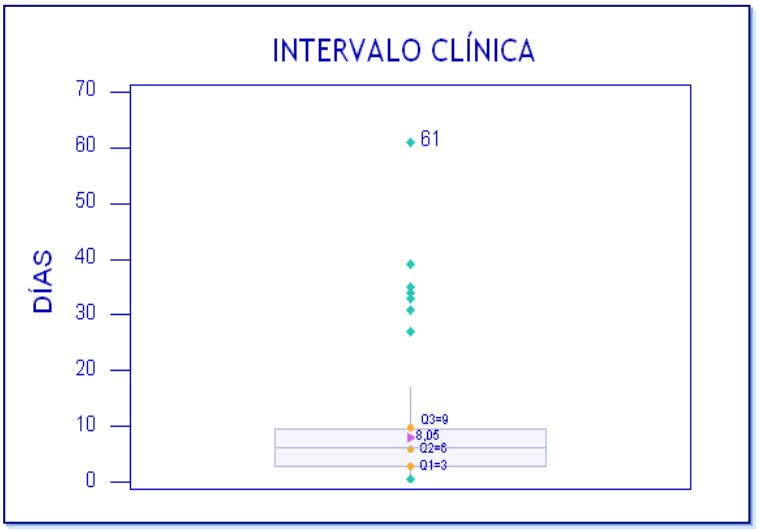

El Cuadro 3.6 muestra el valor 0.231 para el estadístico de prueba y 0.000 para el valor p, entonces se rechaza la hipótesis nula, es decir la variable intervalo tratamiento no se comporta como una variable aleatoria normal con media 5,13 días y varianza 60,32.

CUADRO 3.6
Bondad de Ajuste (K-S): Intervalo Clínica.

H_0: El intervalo Clínica puede ser modelada como una N(5.13,6.32)
Vs.
H_1: No es verdad H_0

$$\sup_x \left| \hat{F}(x) - F_0(x) \right| = 0.231$$

Valor p = 0.000

Fuente: Hospital de División Regional de la Segunda Zona Militar de Guayaquil- Ecuador
Elaborado por: María Luisa Conforme Yagual

Generated by Unregistered Batch DOC TO PDF Converter 2009.1.624.1298, please register!

INTERVALO APLICABLE AL SISTEMA MÉDICO.

En la tabla 3.37 se detalla la estadística descriptiva para este intervalo. El tiempo promedio en este intervalo es 10,20 días. El 24,54% de los pacientes presentaron un intervalo mayor al tiempo promedio.

Tabla 3.37
Estadística Descriptiva de
"Intervalo Aplicable al sistema Médico"

MEDIA		10,20
MEDIANA		7
DESVIACIÓN ESTANDAR		13,74
VARIANZA		188,74
ASIMETRIA		3,72
CURTOSIS		17,46
VALOR MINIMO		1
VALOR MAXIMO		97
RANGO		96
CUARTILES	1	3
	2	7
	3	10,25

Fuente: Hospital de División Regional de la Segunda Zona Militar de Guayaquil- Ecuador
Elaborado por: María Luisa Conforme Yagual

En el gráfico 3.44 se observa que intervalo aplicable al sistema médico presenta con menos frecuencia valores después de la media,

Generated by Unregistered Batch DOC TO PDF Converter 2009.1.624.1298, please register!

además la distribución es leptocúrtica, es decir que hay un alto grado de concentración alrededor de la media.

GRÁFICO 3.44
Histograma de
"Intervalo Aplicable al Sistema Médico"

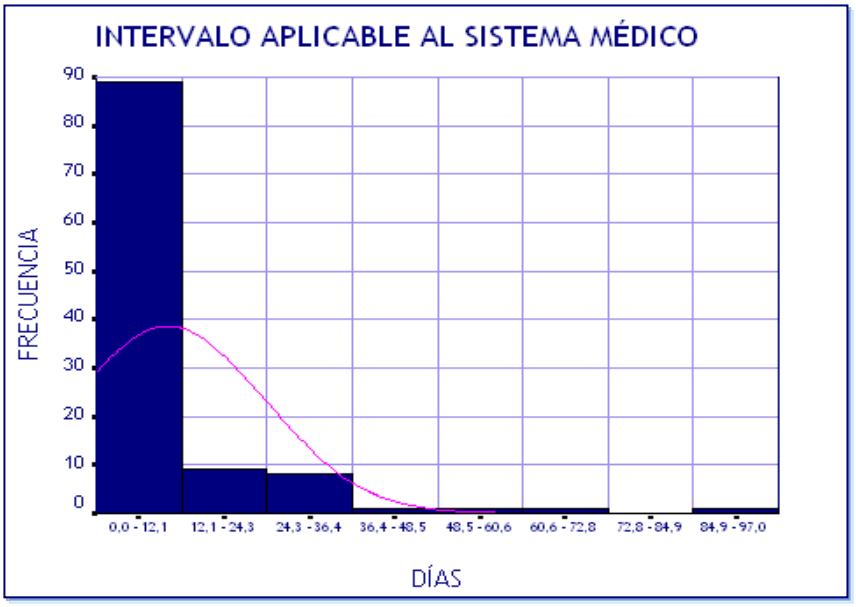

En el Gráfico 3.45 se aprecia que el 25% de los pacientes presentaron tiempos menores o iguales a 3 días y el 25% tuvo intervalos tratamientos mayores o iguales a 10,25 días. El tiempo mínimo en este intervalo fue de 1 día y el máximo de 97 días.

GRÁFICO 3.45
Diagrama de Caja de
"Intervalo Aplicable al Sistema Médico"

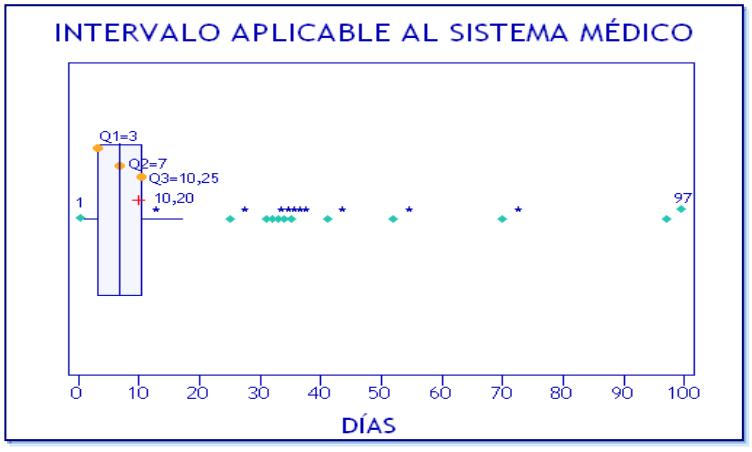

Generated by Unregistered Batch DOC TO PDF Converter 2009.1.624.1298, please register!

El Cuadro 3.7 muestra el valor 0.267 para el estadístico de prueba y 0.000 para el valor p, entonces se rechaza la hipótesis nula, es decir la variable intervalo aplicable al sistema médico no se comporta como una variable aleatoria normal con media 5,13 días y varianza 60,32.

CUADRO 3.7
Bondad de Ajuste (K-S): Intervalo Aplicable al Sistema Médico.

H_0: El intervalo Aplicable al Sistema Médico puede ser modelada como una N(5.13,6.32)
Vs.
H_1: No es verdad H_0

$$\sup_x \left| \hat{F}(x) - F_0(x) \right| = 0.267$$

Valor p = 0.000

Fuente: Hospital de División Regional de la Segunda Zona Militar de Guayaquil- Ecuador
Elaborado por: María Luisa Conforme Yagual

Generated by Unregistered Batch DOC TO PDF Converter 2009.1.624.1298, please register!

INTERVALO DIAGNÓSTICO TOTAL.

En la tabla 3.38 se observa que el tiempo promedio en este intervalo es 92,49 días. El 35,45% de los pacientes presentaron un intervalo mayor al tiempo promedio.

Tabla 3.38
Estadística Descriptiva de
"Intervalo Aplicable al sistema Médico"

MEDIA		92,49
MEDIANA		59,5
DESVIACIÓN ESTANDAR		96,12
VARIANZA		9240,01
ASIMETRIA		1,820
CURTOSIS		2,791
VALOR MINIMO		5
VALOR MAXIMO		406
RANGO		401
CUARTILES	1	32
	2	59,5
	3	114,25

Fuente: Hospital de División Regional de la Segunda Zona Militar de Guayaquil- Ecuador
Elaborado por: María Luisa Conforme Yagual

Generated by Unregistered Batch DOC TO PDF Converter 2009.1.624.1298, please register!

En el gráfico 3.46 se observa que intervalo diagnóstico total presenta con menos frecuencia valores después de la media, además la distribución es leptocúrtica, es decir que hay un alto grado de concentración alrededor de la media.

GRÁFICO 3.46
Histograma de
"Intervalo Diagnóstico Total"

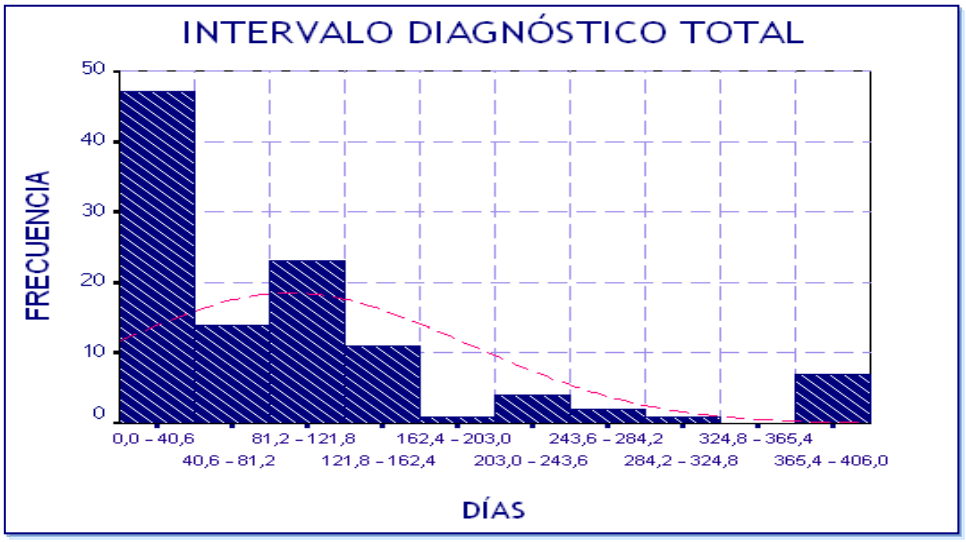

En el Gráfico 3.47 se aprecia que el 25% de los pacientes presentaron tiempos menores o iguales a 32 días y el 25% tuvo intervalos tratamientos mayores o iguales a 114,25 días. El tiempo mínimo en este intervalo fue de 5 días y el máximo de 406.

Generated by Unregistered Batch DOC TO PDF Converter 2009.1.624.1298, please register!

GRÁFICO 3.47
Diagrama de Caja de "Intervalo Diagnóstico Total

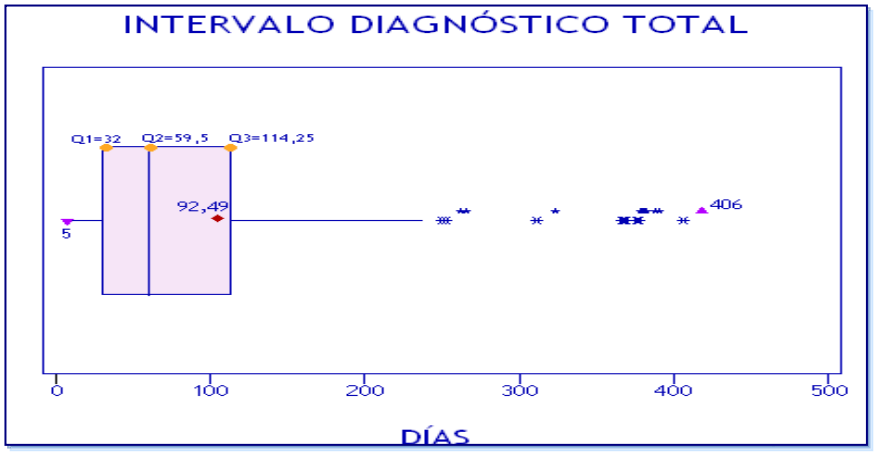

El Cuadro 3.8 muestra el valor 0.186 para el estadístico de prueba y 0.000 para el valor p, entonces se rechaza la hipótesis nula, es decir la variable intervalo diagnóstico total no se comporta como una variable aleatoria normal con media 92,49 días y varianza 9240,01.

CUADRO 3.8
Bondad de Ajuste (K-S): Intervalo Aplicable al Sistema Médico.

H_0: El intervalo Diagnóstico Total puede ser modelada como una N(92,49;9240,01) **Vs.** **H_1**: No es verdad **H_0**

Generated by Unregistered Batch DOC TO PDF Converter 2009.1.624.1298, please register!

$$\sup_x \left| \hat{F}(x) - F_0(x) \right| = 0.186$$

Valor p = 0.000

Fuente: Hospital de División Regional de la Segunda Zona Militar de Guayaquil- Ecuador
Elaborado por: María Luisa Conforme Yegual